

一小时速成notes: Ising模型(3)

来自一个非概率非物理的同学

2025 年 7 月 22 日

0 渔樵问对：一些对前两次讨论班和这次的notes的说明

0.1 ψ 为什么叫压强？

之前我们提到了所谓的 ψ ，名为压强（pressure），由Hölder不等式可以证得其凸性，这是热力学势的特征（反映热力学系统稳定性）。它是联系微观统计（配分函数）与宏观热力学性质的桥梁，其他的物理量可以通过对它求导得到，比如我们后面会提到的平均磁化强度是 $m = \partial\psi/\partial h$ ，而磁化率 $\chi = \partial^2\psi/\partial h^2$ ，能量密度 $u = -\partial(\beta\psi)/\partial\beta$ ，比热 $C = -\beta^2\partial^2(\beta\psi)/\partial\beta^2$ ，混合导数还可以表示磁热效应。

之所以叫做压强，是因为我们知道物理上自由能密度为

$$f(T, \rho) = \lim_{V \rightarrow \infty} \frac{F(T, V, N)}{V},$$

而经典流体系统中压强

$$P = - \left(\frac{\partial F}{\partial V} \right)_{T, N}.$$

而这里体积 V 的类比是 $|\Lambda|$ 为点数。对于 PVT 系统，这个时候所谓的巨热力学势定义为

$$J = -PV.$$

所以这个 ψ 的值相当于负的压强。

0.2 一级还是二级相变？

一级相变的意思是：序参量不连续，但相共存；二级相变的意思是序参量连续但热力学量发散（如比热发散）。在Ising模型中有两种相变，读者要注意区分！我们这里用第二章Curie-Weiss模型的图片来解释一下物理图像（模型的图像大致是一致的）。

第一种是所谓的铁磁相变，位于 $\beta = \beta_c$ 临界点处，且 $h = 0$ 。传统意义上铁磁相变其实被归为Landau二级相变。所谓二级的含义是，磁化强度 m 作为参量连续变化，但是 m 关于 h 的导数也就是磁化率会发散，比热也会发生变化，所以是二级相变。（原书73页有Curie-Weiss模型中这个二级相变的一些参量变化图）

第二种是所谓的低温对称性破缺产生的相变，位于 $\beta > \beta_c$ 低温区，且 $h = 0$ ，这个时候有两个相，分别为+和-，具有不同的磁化强度一正一负，会共存。这个时候取决于你的边界条件，会诱导出不同的态（这就是ghost edge发挥的作用！），决定它是“水”还是“冰”！¹ 由于 m 值发生了突变，所以这是一级相变！

¹当然，固液相变并不对称，但这是一种一级相变，所以这只是一种类比。

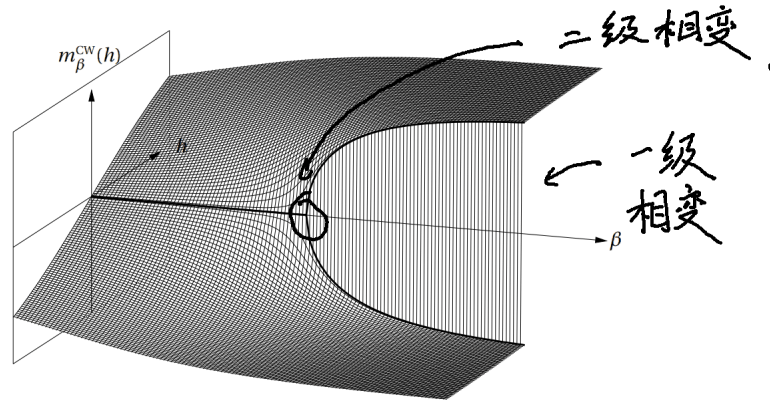


图 1: 原书67页, Curie-Weiss平均场模型的 m 参量变化图, 可以按照这个作为脑海中的图像理解

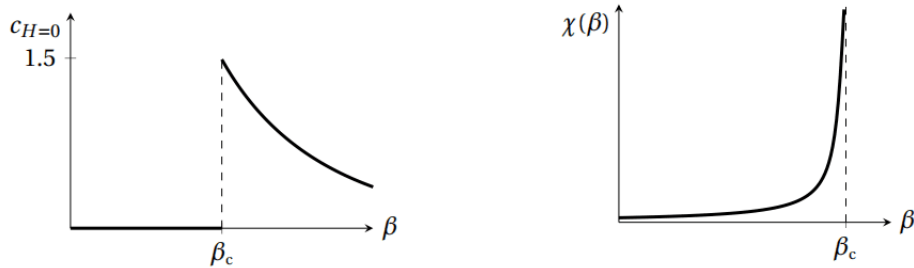


图 2: 原书73-74页, Curie-Weiss模型二级相变的热力学参量的变化.

1 低温对称性自发破缺

在 $h = 0$ 且低温区我们希望能证明存在一级相变, 换言之出现对称性破缺, 整块物体呈现出自发磁化的现象, 也就是所谓的铁磁相. 这种机制的原理来自于低温下耦合作用显著强于热力学无序作用.

我们希望证明 $\beta_C < \infty$. 对于所有 $d \geq 2$ 的格子 \mathbb{Z}^d 都是如此. 要做到这一点, 只要证明, 我们对区域大小 $|\Lambda|$ 一致地有

$$\mu^+(\sigma_0 = -1) \leq \delta(\beta).$$

这样的话如果 $\delta(\beta) < 1/2$ 就会有

$$m^*(\beta) > 0.$$

并且我们希望 $\beta \rightarrow \infty$ 之时, $\delta(\beta) \rightarrow 0$.

用到的方法叫做Peierls论证, 这是一种巧妙的方法, 分为四步:

1. 几何表示, 轮廓 (Contours) 的构造. 如图, 我们勾画出+与-边界的轮廓即可. 接下来我们将这些边界分成简单闭曲线轮廓 $\gamma_1 \cup \dots \cup \gamma_n$ 的并. 记这个集合是 $\Gamma(\omega)$ 强调对 ω 的依赖.
2. 利用上述分解, 可以将Hamilton量用轮廓表示.

$$H(\omega) = -\beta|E| + 2\beta \sum_{\gamma \in \Gamma(\omega)} |\gamma|.$$

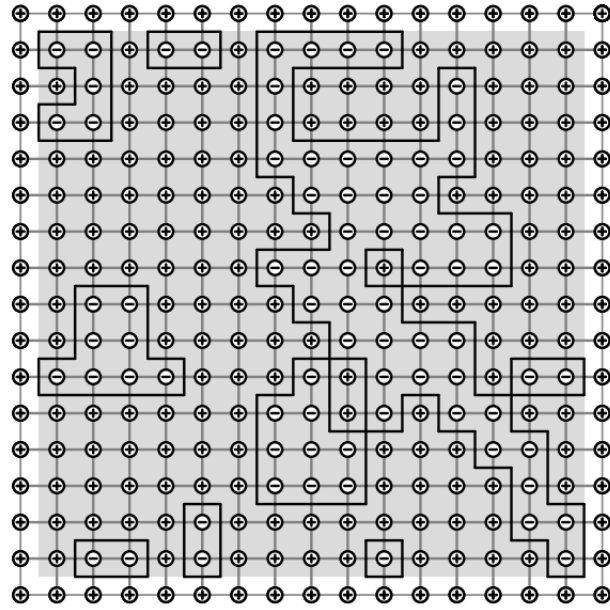


Figure 3.10: A configuration of the two-dimensional Ising model in a finite box Λ with + boundary condition. At low temperature, the lines separating regions of + and - spins are expected to be short and sparse, leading to a positive magnetization in Λ (and thus the validity of (3.29)).

图 3: 轮廓的构造

其中第一项与 ω 无关可以忽略，第二项中的 $|\gamma|$ 为这些轮廓的长度。这是一种反平行边的惩罚。所以Gibbs分布形如

$$\mu^+(\omega) = \text{const} \cdot \prod_{\gamma \in \Gamma(\omega)} e^{-2\beta|\gamma|}.$$

3. 我们需要一个核心的不等式，也就是轮廓概率估计。需要这个不等式的原因是：

$$\mu^+(\sigma_0 = -1) \leq \mu^+(\Gamma(\omega) \text{ 存在一个轮廓把 } 0 \text{ 这个点围起来}) \leq \sum_{\text{所有把 } 0 \text{ 围起来的轮廓 } \gamma} \mu^+(\gamma \in \Gamma).$$

所以我们需要两件事：控制 $\mu^+(\gamma \in \Gamma)$ 大小和这样的 γ 的数量。其一为轮廓概率的估计。

引理 1.1.

$$\mu^+(\gamma \in \Gamma) \leq e^{-2\beta|\gamma|}$$

其物理本质是说，低温条件下轮廓是某种能量激发，长度 $|\gamma|$ 是激发代价的度量。而该不等式 $\mu \leq e^{-2\beta|\gamma|}$ 表明这个能量障碍越高，涨落就越罕见。

证明。证明可以用下面这张图概括，首先第一步我们对配分函数进行拆分。

$$\mu(\gamma \in \Gamma) = e^{-2\beta|\gamma|} \frac{\sum_{\omega: \gamma \in \Gamma(\omega)} \prod_{\gamma_i \neq \gamma, \gamma_i \in \Gamma(\omega)} e^{-2\beta|\gamma_i|}}{\sum_{\omega} \prod_{\gamma_i \in \Gamma(\omega)} e^{-2\beta|\gamma_i|}}$$

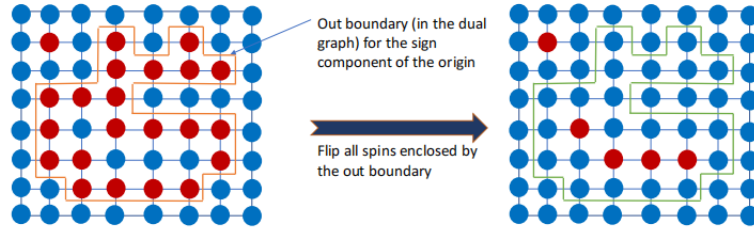
现在的问题是分子里面的轮廓和中都去掉了 γ 部分的贡献，因此我们使用一个“翻转”的操作，将 ω 替换为 ω' 。二者区别在于 ω' 将 ω 内部的自旋全部翻转了，这样其轮廓集合 $\Gamma(\omega')$ 与 $\Gamma(\omega)$ 几乎相同，除了它不包含 ω 。可以参考下面这个图。

翻转后分子改成对 ω' 求和, 但对于固定的 ω' , 并非所有的 Ω 中的东西都来自对 ω 的一个对 γ 的翻转得到, 但是每一个 ω' 最多对应于一个 ω , 就是添加上 γ 之后的轮廓. 因此分子 \leq 分母, 估计成立. \square

A sketch of Peierls argument

At low temperatures long range order exists for $d \geq 2$, i.e.,

$$\frac{1}{2}(\langle \sigma_o \rangle_{\mu_{T, \Lambda_N}^+} - \langle \sigma_o \rangle_{\mu_{T, \Lambda_N}^-}) = \langle \sigma_o \rangle_{\mu_{T, \Lambda_N}^+} \geq \text{const.}$$



- **Construction** (of flip mapping): if spin at origin disagrees with boundary condition, flip all spins enclosed by its sign component.
- **Analysis**: two competing effects for sign component with outmost boundary of size ℓ .
 - ◇ flipping gains a factor of $e^{\ell/T}$ in probability;
 - ◇ multiplicity of the mapping is $e^{O(\ell)}$.
- **Conclusion** (summing over ℓ): at low temperature, the origin agrees with the boundary condition with good probability.

图 4: Peierls论证的原理, 来自丁剑的Beamer文档,

网址是<https://mathpicture.fas.harvard.edu/sites/g/files/omnuum6611/files/mathpicture/files/ding-rfm.pdf>.

4. 还差最后一步, 需要一个计数论证, 数出包含0点的轮廓的数量. 一个消极的估计是固定长度 $k \geq 4$ 之时, 轮廓数 $\leq 2k \cdot 3^{k-1}$ (书上式3.39). 于是这个求和就有一个上界 $2 \sum_{k \geq 4} k \cdot 3^k e^{-2\beta k}$, 很容易可以由此计算出 $d = 2$ 之时的一个悲观估计 $\beta_c < 0.88$ (实际上 $\beta_c = 0.441$ 对于 \mathbb{Z}^2).

Peierls论证不能推广到 $d = 1$ 的情形, 问题出在我们并没有一个长度逐渐增加的轮廓被我们控制 (因为只有一条线, 如果硬要说轮廓就是两个端点), 轮廓的数量也不受控制. 事实上 $d = 1$ 的时候不存在相变. 但高维推广都没有任何问题.

定理 1.2. $d \geq 2$, $\beta_c < \infty$.

2 高温无序性

接下来我们考虑高温情形, 也就是 β 接近于0之时. 这个时候系统呈现出无序相, 热涨落显著强于自旋相互作用, 即在热力学极限下我们失去了关联性, σ_0 和 σ_i 之间的值不再强相关, 系统无长程序, 自发磁化消失. 事实上, $\langle \sigma_0 \sigma_i \rangle - \langle \sigma_0 \rangle \langle \sigma_i \rangle \sim e^{-|i \text{到} 0 \text{距离}|/\xi(\beta)}$ 且 $\beta \rightarrow 0$ 之时关联长度 $\xi(\beta) \rightarrow 0$, 自旋仅在短程内微弱关联, 并且长程迅速以指数衰减.

这个时候我们重写一下Hamilton量, 来做高温展开.

$$Z = (\cosh \beta)^{|\Lambda|} \sum_{E \subset \Lambda} (\tanh \beta)^{|E|} \sum_{\omega \in \Omega_\Lambda} \prod_{i \sim j \text{ 对位于 } E \text{ 中}} \omega_i \omega_j.$$

这个时候，一旦从某个 $i \in \Lambda$ 连出的落在 E 中的边为奇数条，便会给出0的贡献，否则贡献为 $2^{|\Lambda|}$. 把满足所有 $i \in \Lambda$ 中满足这个条件的 E 记成偶图集合 $E_{\Lambda}^{\text{even}}$ ，因此配分函数 Z 又可以被写成

$$Z = 2^{|\Lambda|} (\cosh \beta)^{|E_{\Lambda}|} \sum_{E \in E_{\Lambda}^{\text{even}}} (\tanh \beta)^{|E|}.$$

用同样的方法可以得到

$$\langle \sigma_0 \rangle = Z^{-1} 2^{|\Lambda|} (\cosh \beta)^{|E_{\Lambda}|} \sum_{E \in E_{\Lambda}^0} (\tanh \beta)^{|E|} = \frac{\sum_{E \in E_{\Lambda}^0} (\tanh \beta)^{|E|}}{\sum_{E \in E_{\Lambda}^{\text{even}}} (\tanh \beta)^{|E|}}.$$

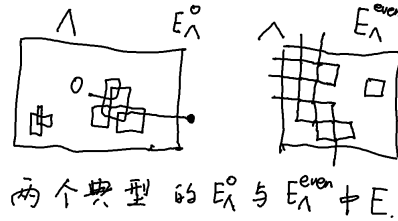


图 5: E_{Λ}^0 与 $E_{\Lambda}^{\text{even}}$ 的图示

自然 E_{Λ}^0 定义方式类似，只不过要求除了其他点以外，0 这个点要连出奇数条边。注意，这似乎违背了握手原理？其实不然，这说明 E “连到了” Λ 的外面。也正因如此，我们可以将 E 分解为 $E_0 \cup E'$ ，其中 E_0 是这个图的一个包含 0 这个点的连通分支，那么 E_0 就要包含连到 Λ 外面的边。同样使用和 Peierls 论证过程中关于翻转操作的讨论，不是每一个 E' 都来自于一个 E ，但是给定一个 E_0 之后可以倒推出的 E 是唯一的，所以会给出一个分子 \leq 分母的结果。因此我们就有

$$\langle \sigma_0 \rangle \leq \sum_{E_0 \in E_{\Lambda}^0, E_0 \text{ 连通}} (\tanh \beta)^{|E|}.$$

同样我们需要两个估计，一个是给定 $|E_0| = l$ 下 $\tanh \beta < \beta$ 对求和项的估计，这个很容易，因为求和项不会超过 β^l 。另一个是给定 $|E_0| = l$ 之下，连通的这样的 E_0 的数量的控制。这里要用到原书引理 3.38。

引理 2.1. 对于一个连通图 G ，从任何一个顶点出发，存在一个恰走过 G 的每条边两次的路径。

注意和图论中 Euler 定理的区别。这里我们需要走过每条边恰两次。

乍一看起来这个定理不知道在说什么，但其实我们可以有效地计算出这样一条路径出来。这就是孩子们游戏中最常见的一种走迷宫策略。这有点像是深度优先搜索（DFS）算法，但区别在于，我们要恰好走每条路两次，而 DFS 通常在实际中不需要回溯那么多次（人类不像甲壳虫一样有强迫症！）。

所谓的走迷宫策略，可以归纳成一首诗。

勇往直前探新路，无路可退便回头。每条通道走两遍，迷宫再大不发愁！

意思是这样的：

- 首先从一个起点出发。
- 如果在某个地点一条新路还没有走过，先去尝试走这条新路。
- 假如走到了一个“死路”，也就是其他所有的路都被走过，那么回溯到上一个地点（不正确回溯的后果见图）。

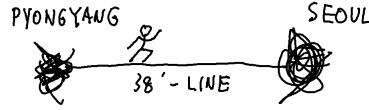


图 6: 为什么要回溯? 想象一下白天你从右边的城市来到了左边, 但晚上你脱被头寒了要回到右边, 这个时候你只能一直往右走, 可千万不能再走这条路第三次啊! (回溯一定要往回走!)

当然, 数学是要求严谨性的, 在给出证明之前, 我们需要找到这个策略奏效的条件.

- 首先, 连通性保证了无遗漏. 因为所有的点都相连, 而这种“深度优先”的策略意味着你会覆盖全图, 不会错过任何一个角落.
- 其次, 回溯机制保证了每条边恰好走两次. 如果你不是回溯而是换一条路, 你就有可能走一条路超过2次!
- 最后, 执行这个算法的时候, 你无需记忆全图! 要点在于, 你要记住你怎么来的, 以及你走过不同路的次数来避免重复. 在算法上这可以用堆栈来实现.
- 我要发出警告, 这里存在一个小的思维陷阱! 连通图中仍可能存在环路 (比如说 $A - B - C - A$), 但此时策略依然有效. 当你从 A 到 B 再到 C 的时候, 你会先探索 $C - A$, 再回溯, 最终每条边还是被走过两次.

证明. 使用归纳法. 略. □

回到证明之中, 那么一个长度为 l 的连通图 E_0 , 就必然其数量不会超过长为 $2l$ 的路径的数量, 也就不会超过 $(2d)^{2l}$ 这么多 (因为 \mathbb{Z}^d 每个点都连出去 $2d$ 条边).

$$\langle \sigma_0 \rangle \leq \sum_{l \geq n} (4d^2 \beta)^l \leq e^{-cn}.$$

其中 $\beta < 1/4d^2$. 取热力学极限之后, 右边就是0.

定理 2.2. $d \geq 1$, $\beta_c > 0$.

3 有磁场时唯一性

在这一节我们聚焦于有磁场时候的变化, 会固定一个逆温度 $\beta > 0$, 考虑 h 变化时配分函数 Z 的行为.

$h = 0$ 且 $\beta > \beta_c$ 之时我们指出在临界温度会出现 ψ 不可微现象, 存在相变; 但 $h \neq 0$ 之时 m 有着与外场 h 符号一致的偏向性, 似乎不存在相变. 这是因为我们有所谓的磁化现象, 两种态不再对称因而只有一种是 Gibbs 基本态.

我们知道,

$$\psi = \frac{\log Z}{|\Lambda|}.$$

而 Z 是一些 e^{-H} 的和自然是大于0的关于 h 的实解析函数. 因此 ψ 也应该是一个良好定义的解析函数. 似乎我们没有遇到什么矛盾. 但我们要注意,

物理上真实的相变只发生在热力学极限下!

当 $\Lambda \rightarrow \mathbb{Z}^d$ 时, ψ 的解析性质可能不再被保持! 比如在低温下, 根据Peierls论证, $h = 0$ 便不是如此. 而我们希望 $h \neq 0$ 的时候, 这样的解析性质能被保持, 换言之, 就不存在相变.

现在我们有两条路可以选. 第一条路是这样的, 根据原书中的注记3.41, 此时我们也可以用另一个书中未提及的GHS不等式证明 $h \mapsto \langle \sigma_0 \rangle^+$ 在 $h \in (0, +\infty)$ 上面是凸函数 (或者凹, 我从来记不住区别), 因此连续, 从而其积分也就是 ψ 给出一个 $h > 0$ 可微函数, $h < 0$ 与之对称同理, 再根据定理3.34, 事实上这和实解析差的不是很远.

但实际上还有第二条路, 更加优雅, 那就是对于有限区域的配分函数, 把 h 的定义域先延拓到整个复平面.

3.1 渔樵问对2: 为什么要延拓到整个复平面?

某种意义上, 这种延拓方式相当于开启了某种“上帝视角”. 我们知道事物总有两面, 一面是“谱侧”, 另一侧是“几何侧”.

回忆一下我们知道数论中的von Mangoldt公式形如

$$\psi(x) = x - \sum_{\rho} \frac{x^{\rho}}{\rho} - \frac{1}{2} \log \left(1 - \frac{1}{x^2} \right) - \log 2\pi$$

左侧是某种数论信息, 可以理解为“几何侧”发生的事情, 关注于素数分布也就是 $\psi(x)$ 的变化 (很遗憾这里也用到了 ψ 这个记号, 但这也是标准的). 而右侧分成了若干项, 包括一个渐进增长的主项, 以及反映波动的Riemann ζ 函数的非平凡零点的项, 还有“无穷远”处的一些 Γ -因子等等. 而 ρ 这样的东西有点像是Fourier展开后描述波动的振幅和频率的量, 是某种“谱侧”发生的事情.

又比如我们知道在线性代数里面, 一个 $n \times n$ 矩阵 A 的迹 (trace) 一般有两种计算方式.

$$\text{tr}(A) = \sum_{1 \leq i \leq n} a_{ii} = \sum_{1 \leq i \leq n} \lambda_i.$$

前者是一种“几何侧”的计算方式, 将对角线元素求和; 而后者是一种“谱侧”的方式, 将 A 这个矩阵的特征值求和.

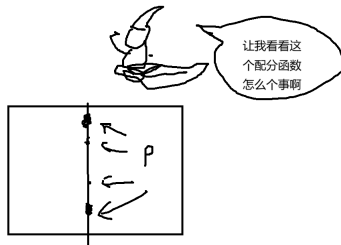


图 7: 上帝视角下的配分函数 (谱侧)

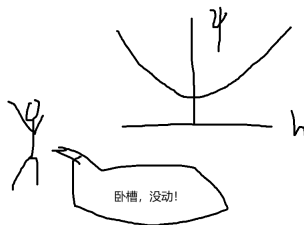


图 8: 人类视角下的配分函数 (几何侧)

我们现在的想法和Riemann当年将 ζ 函数延拓到复平面的想法有点类似，也就是我们要看“谱侧”的信息。Z这个函数作为实函数当然是一个正的实解析函数，但延拓成复平面上的函数之后，“谱侧”能告诉我们一些不太直接从正面观察到的信息，有可能能够从其零点的信息中做出判断，事实上这是Lee-Yang单位圆定理将会告诉我们的事情。

顺便一说，这是一种在代数与数论中极为常见的哲学，甚至也出现在一些来自分析的等式中。比如Poisson求和公式、Riemann-Roch定理、Weil显式公式、Selberg迹公式。

接下来我们回到Lee-Yang单位圆定理的叙述上。

定理 3.1. 在进行解析延拓之后， $Z_{\Lambda; \beta, h}$ 零点在纯虚数线 $\Re(h) = 0$ 上。

其实这是一个一般性的定理，我们只需要用到任意两个点 i 和 j 之间有某种正的耦合（甚至耦合常数不必相同），不需要用到格点形状的信息。因此我们接下来假设在顶点集合 V 和边集 E 上工作。

原书中的证明使用了Asano归并技巧，我们使用一个更加易懂的复分析证明。这个证明来自于刘党政老师的讲义，记号会有点不同。我们会按照他的记号。

现在我们假设有 N 个点，每个点 σ_i 仍然可以取 ± 1 两个值。Hamilton量 H 有如下形式

$$H = - \sum_{1 \leq i < j \leq N} J_{ij} \sigma_i \sigma_j - h \sum_{1 \leq i \leq N} \sigma_i.$$

J_{ij} 是一些非负的耦合常数。且 $e^{-\beta H(\sigma)}$ 还是Gibbs测度。这样记 $\sigma = (\sigma_1, \sigma_2, \dots, \sigma_N)$ 与 $[N] = \{1, 2, 3, \dots, N\}$ ，与

$$X(\sigma) = \{i \in [N] : \sigma_i = -1\}$$

是 -1 的点组成的集合。

$$Z_{N; \beta, h} = e^{\beta h N + \beta \sum_{i < j} J_{ij}} \sum_{\sigma} e^{\beta h \sum_i (\sigma_i - 1) + \beta \sum_{i < j} J_{ij} (\sigma_i \sigma_j - 1)}.$$

接下来换元 $z = e^{-2\beta h}$ ，且 $a_{ij} = a_{ji} = e^{-2\beta J_{ij}}$ 。注意到这个时候虚直线被映射到单位圆周了。那么可以把 Z 写成关于 z 的多项式

$$Z = e^{\beta h N + \beta \sum_{i < j} J_{ij}} \sum_{X \subset [N]} z^{|X|} \prod_{i \in X} \prod_{j \notin X} a_{ij} = \star \cdot P_A(z)$$

其中 $A = (a_{ij})$ 是一个对称矩阵。

比如说 $N = 3$ 的时候这个 $P_A(z)$ 就形如

$$P = 1 + a_{12}a_{13}z_1 + a_{21}a_{23}z_2 + a_{31}a_{32}z_3 + a_{13}a_{23}z_1z_2 + a_{12}a_{32}z_1z_3 + a_{21}a_{31}z_2z_3 + z_1z_2z_3.$$

Yang的想法是我们应该使用本手，化为多元多项式

$$P_A(z_1, \dots, z_N) = \prod_{S \subset [N]} z^S \prod_{i \in S} \prod_{j \notin S} a_{ij}, \quad z^S = \prod_{i \in S} z_i.$$

定理 3.2 (Lee-Yang单位圆定理). 设 A 为Hermite矩阵，若所有的 $|a_{ij}| \leq 1$ ，那么 $|z_1| < 1, \dots, |z_N| < 1$ 之时必定有

$$P_A(z_1, \dots, z_N) \neq 0.$$

特别地， $P_A(z, \dots, z) = 0$ 的所有根都在单位圆上。

证明。用归纳法， $N = 1$ ，假设 $N \geq 2$ 且对 $N - 1$ 结论成立，接下来直接把 $[N]$ 的子集分成两类：包含 N 的和不包含 N 的。利用 $a_{ij} = \overline{a_{ji}}$ ， A 的左上角 $(N - 1) \times (N - 1)$ 子式为 B ，那么

$$P_A(z_1, \dots, z_N) = P_B(a_{1,N}z_1, \dots, a_{N-1,N}z_{N-1}) + (z_1 \cdots z_N) \overline{P_B(a_{1,N}/\overline{z_1}, \dots, a_{N-1,N}/\overline{z_{N-1}})}.$$

比如 $N = 3$ 时

$$P = (1 + a_{12}(a_{13}z_1) + a_{21}(a_{23}z_2) + (a_{13}z_1)(a_{23}z_2)) + z_1z_2z_3(\cdots). \quad (\text{括号里的东西我懒于写出})$$

我们先来证明：

$$\sup_{|a_{i,N}| \leq 1, |z_k| \leq 1} \left| \frac{P_B(a_{1,N}/\bar{z}_1, \cdots, a_{N-1,N}/\bar{z}_{N-1})}{P_B(a_{1,N}z_1, \cdots, a_{N-1,N}z_{N-1})} \right| \leq 1$$

证明需要使用所谓的最大模原理. 根据归纳假设, P_B 在单位圆内部是全纯的 (零点在边界上), 所以可以使用最大模原理. 而所有的 $|z_k| = 1$ 时候我们知道右边其实严格等于1 (注意到 $1/\bar{z}_k = z_k$, 当 $|z_k| = 1$ 之时).

现在根据归纳假设, 第一项非0, 而根据归纳假设, 加上条件 $|z_k| < 1$, 就能推出第二项模长严格小于第一项, 所以之和非0.

接下来我还要说明我们是有对称性的,

$$P_A(z, \cdots, z) = z^N \overline{P_A(1/\bar{z}, \cdots, 1/\bar{z})}.$$

所以零点都只在单位圆上.

□

最后, 我们说明这为什么能推出 $h \neq 0$ 时候没有相变. 因为在整个取热力学极限的过程中, 谱侧 Z 的零点会发生移动. 在 $\beta > \beta_c$ 且 $h = 0$ 的时候我们已经看到会发生相变, 可以被理解为随着系统大小 N 增大, 这些零点越来越多, 互相推搡, 最后这些零点在极限下被“挤压”到了实轴上! 但是, 由于这些零点最开始都位于虚轴上, 所以它们若被“挤压”到了实轴上, 唯一可能的点是 $h = 0$!

定理 3.3. $h \neq 0$ 之时不存在相变.